

## Анализ деформаций несвязного дна канала в нижнем бьефе гидроузла\*

И. И. ПОТАПОВ, К. С. СНИГУР

*Вычислительный центр ДВО РАН, Хабаровск, Россия*  
e-mail: potapovii@rambler.ru, snigur\_ks@rambler.ru

Для одномерного канала формулируется задача деформирования песчаного дна в нижнем бьефе гидроузла, не содержащая феноменологических параметров. Задача определяется в рамках одномерного неравновесного руслового процесса, протекающего вследствие набегания на дно канала осветленного гидродинамического потока. Проведено сравнение полученных численных решений с экспериментальными данными и расчетами других авторов. Показано, что основной причиной замедления скорости размыва дна канала является увеличение глубины в его размытой части.

*Ключевые слова:* влекомые наносы, донные деформации, неравновесные и равновесные русловые процессы.

### Введение

Изучению процессов размыва дна канала в нижнем бьефе посвящен ряд экспериментальных работ [1, 2], из которых следует, что с течением времени процесс размыва в нижнем бьефе замедляется. Авторы экспериментов отмечают, что существуют три механизма, влияющие на динамику замедления размыва: первый из них определяется неравновесностью механизма размыва дна в нижнем бьефе гидроузла, второй связан с процессом бронирования дна — смывом более мелких (подвижных) фракций донных частиц за начальный промежуток времени с последующим медленным влечением более крупных фракций, наконец, третий механизм связан с местным размывом дна при набегании на него осветленного потока, что приводит к местному увеличению глубины потока, уменьшению его скорости и уклона свободной поверхности в области размыва, что в свою очередь приводит к замедлению размыва дна.

Численные исследования, выполненные в [3, 4], привели к получению результатов, не согласующихся с экспериментальными данными [1, 2], основной причиной чего, по мнению авторов работы [3], является не учитывание расчетной моделью неравновесности процессов размыва. Для согласования расчетных и экспериментальных данных были введены феноменологические формулы калибровки влекомых наносов [3, 4]

$$q_s^n(x, t) = q_s(x, t) \left( 1 - \exp \left( -\frac{x}{1 + at} \right) \right), \quad (1)$$

---

\*Работа выполнена в рамках ФЦП “Научные и научно-педагогические кадры инновационной России”. Госконтракт № 02.740.11.0626.

где  $q_s^n$ ,  $q_s$  — соответственно неравновесное и равновесное значения влекомых наносов,  $a$  — эмпирический параметр, определяемый из эксперимента,  $x$  — пространственная,  $t$  — временная переменная.

В настоящей работе проводится проверка влияния вышеперечисленных механизмов на динамику замедления размыва дна. Учитывая, что донный материал в экспериментах [1, 2] был близок к однородному, влиянием процессов бронирования дна на замедление размыва донной поверхности пренебрегаем.

Для анализа причин процесса замедления размыва донной поверхности можно использовать известные русловые модели [5–7]. Однако сложность их применения связана с необходимостью определения феноменологических параметров данных моделей. В работе была выбрана неравновесная русловая модель [8], построенная на основе семейства русловых моделей [9–12], не содержащих в себе феноменологических параметров.

## 1. Математическая постановка задачи

Задача деформаций дна канала прямоугольной формы для одномерного неустановившегося руслового процесса рассматривается в расчетной области, представленной на рис. 1. Деформация несвязной донной поверхности происходит под действием протекающего по ней осветленного потока с расходом  $Q$  и определяется следующими уравнениями:

$$\frac{\partial}{\partial x} \left( \frac{U^2}{2g} + \eta \right) + \lambda \frac{U|U|}{gH} = 0, \quad Q = HU = \text{const}, \quad (2)$$

$$\frac{\partial \zeta}{\partial t} + \frac{\partial q}{\partial x} = 0, \quad (3)$$

$$\frac{\partial \xi}{\partial t} + u_a \frac{\partial \xi}{\partial x} = \frac{w}{h}(1 - \xi), \quad (4)$$

$$q = \frac{4}{3} \frac{\xi n \tau^\zeta \sqrt{\tau^\zeta}}{(1 - \epsilon) F_a \sqrt{\rho_w} \kappa} \left[ (1 - \sqrt{\chi_0}) - \left( 1 - \frac{1}{2} \sqrt{\chi_0} \right) \Gamma \right], \quad (5)$$

где

$$\tau_0 = \frac{3}{8} \frac{dF_a \kappa^2}{c_x}, \quad \chi_0 = \frac{\tau_0}{\tau^\zeta}, \quad \xi = \frac{f}{f_*}, \quad \tau^\zeta = \rho_w \lambda U^2,$$

$$F_a = (\rho_s - \rho_w) g \cos \gamma \tan \varphi, \quad n = \begin{cases} 1, & \chi_0 < 1, \\ 0, & \chi_0 \geq 1. \end{cases}$$

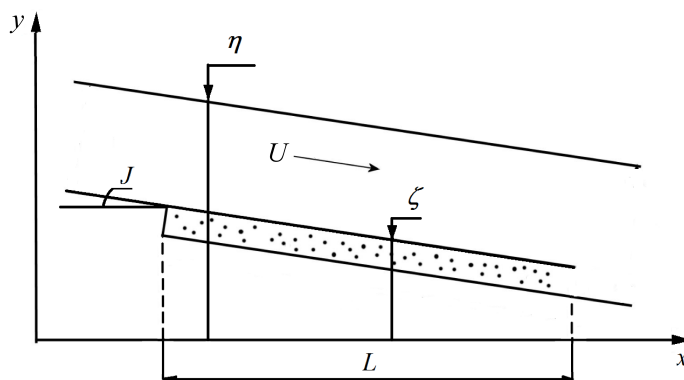


Рис. 1. Расчетная область;  $J$  — уклон дна,  $L$  — длина расчетной области

Для замыкания системы уравнений (2)–(4) определим начальные

$$\zeta(x, 0) = \zeta_0(x), \quad \xi(x, 0) = 0 \quad (6)$$

и граничные

$$H(L) = H_0, \quad (7)$$

$$q(0, t) = 0, \quad \frac{\partial \zeta(L, t)}{\partial x} = J \quad (8)$$

условия. Здесь  $U$  — осредненная по глубине скорость потока;  $\eta + H_0$  — уровень свободной поверхности потока;  $\eta$  — возмущение свободной поверхности потока;  $H = \eta + H_0 - \zeta$  — глубина потока;  $H_0$  — средняя глубина потока;  $Q = UH$  — расход потока;  $\lambda$  — коэффициент гидравлического сопротивления потока;  $h = \frac{\tau^\zeta}{f_* F_a (1 + \Gamma)}$ , — толщина активного слоя;  $\Gamma = \frac{1}{\cos \gamma \tan \varphi} \frac{\partial \zeta}{\partial x}$ ;  $u_a = \frac{4}{3\kappa} \sqrt{\frac{\tau_0}{\rho_w}}$  — скорость движения активного слоя;  $f_* \approx 0.1$  — концентрация донных частиц в придонном активном слое [9, 10];  $\epsilon$  — пористость донного материала;  $g$  — скорость свободного падения;  $\zeta$  — уровень донной поверхности;  $\xi$  — коэффициент насыщения активного слоя частицами;  $w$  — гидравлическая крупность частиц;  $\rho_s$  — плотность песка;  $\rho_w$  — плотность воды;  $\tau^\zeta$  — напряжения на площадках, касательных к поверхности смеси в точке  $\zeta$ ;  $\tau_0$  — критические напряжения;  $\kappa$  — постоянная Кармана;  $\varphi$  — угол внутреннего трения частиц;  $d$  — диаметр частиц песка;  $c_x$  — лобовое сопротивление частиц;  $\gamma$  — острый угол между нормалью к поверхности смеси и вертикальной линией;  $q$  — количество влекомых наносов;  $f$  — концентрация частиц в активном слое;  $\zeta_0$  — начальный уровень донной поверхности.

## 2. Алгоритм решения задачи

Решение задачи (2)–(8) проводилось с расщеплением на две подзадачи. Для дискретизации и решения гидродинамического уравнения (2) с граничным условием (7) методом центральных разностей используется вариант метода превышений [6]. При этом предполагается, что в связи с малой скоростью изменения величины  $\xi$  во времени значением  $\partial \xi / \partial t$  можно пренебречь, т. е. насыщение активного слоя частицами по времени по сравнению с насыщением по координате  $x$  изменяется на малую величину и справедлива зависимость

$$\xi = 1 - \exp(-Kx), \quad (9)$$

где  $K = \frac{w}{u_a h}$  — показатель неравновесности руслового процесса.

Общий вид дискретного аналога задачи (2)–(4) имеет вид

$$H_{i-1}^n = H_i^n + \Delta x \frac{\frac{\zeta_n - \zeta_{n-1}}{\Delta x} + \lambda \text{Fr}_i}{1 - \text{Fr}_i \left(1 - \frac{3\lambda \Delta x}{2H_i}\right)}, \quad (10)$$

$$U_{i-1}^n = \frac{Q}{H_{i-1}^n}, \quad (11)$$

$$\xi_i = 1 - \exp(-Kx_i), \quad (12)$$

$$\zeta_i^{n+1} = \zeta_i^n - \Delta t \frac{q_i^n - q_{i-1}^n}{\Delta x}. \quad (13)$$

Здесь  $n$  — шаг по временной,  $i$  — шаг по пространственной координате. С помощью уравнений (10), (11) для текущего шага по времени  $n$  методом обратной прогонки [6] вычисляются значения глубины потока  $H_i$  и его скорости  $U_i$ , что позволяет по формулам (12), (13) определить изменения дна канала  $\zeta_i^{n+1}$ . По алгоритму сначала задаются расход потока  $Q$ , уровень дна  $\zeta_i$ , глубина потока  $H_N$  на выходе из расчетной области  $0 \leq x \leq L$ . Для сеточной области  $x_i = i\Delta x, i = 0, \dots, N$ , определяются значение скорости  $U_N = \frac{Q}{H_N}$  и число Фруда  $Fr_N = \frac{u_N^2}{gH_N}$  в узле  $N$ . Расчет глубины  $H_{i-1}^n$  на текущем шаге выполняется по (10). Вычисление пар  $U_i^n, H_i^n$  проводится от  $N$ -го до 0-го узла области. Расчет донных деформаций производится по формулам (12), (13).

Для анализа неравновесности руслового процесса вводится критерий среднего насыщения активного слоя

$$\Xi = \frac{1}{L} \int_0^L \zeta(x) dx = 1 - \frac{1 - \exp(-KL)}{LK}, \quad (14)$$

отражающий относительное наполнение активного слоя донными частицами для неравновесного и равновесного случаев руслового процесса в расчетной области длиной  $L$ .

### 3. Результаты численных исследований

Для выявления механизмов, влияющих на замедление процесса размыва дна, были выполнены численные расчеты, согласованные с экспериментальными данными [1]. Расчеты проводились при следующих данных:  $d = 6.9 \cdot 10^{-4}$  м,  $\kappa = 0.4$ ,  $\varphi = 32^\circ$ ,  $\rho_w = 1000$  кг/м<sup>3</sup>,  $\rho_s = 2650$  кг/м<sup>3</sup>,  $c_x = 0.45$ ,  $\epsilon = 0.375$ ,  $Q = 0.00566$  м<sup>3</sup>/с,  $H_0 = 0.0411$  м,  $q_N = 0.88652$  кг/с (массовый расход наносов),  $U = 0.45$  м/с,  $L = 9.14$  м,  $W = 0.3048$  м (ширина лотка).

На рис. 2 представлено сравнение полученных расчетных результатов (кривые 1–4) с экспериментальными данными [1], которое показывает, что между ними имеется хорошее согласование (различие не превышает 9 %, что близко к систематической точности

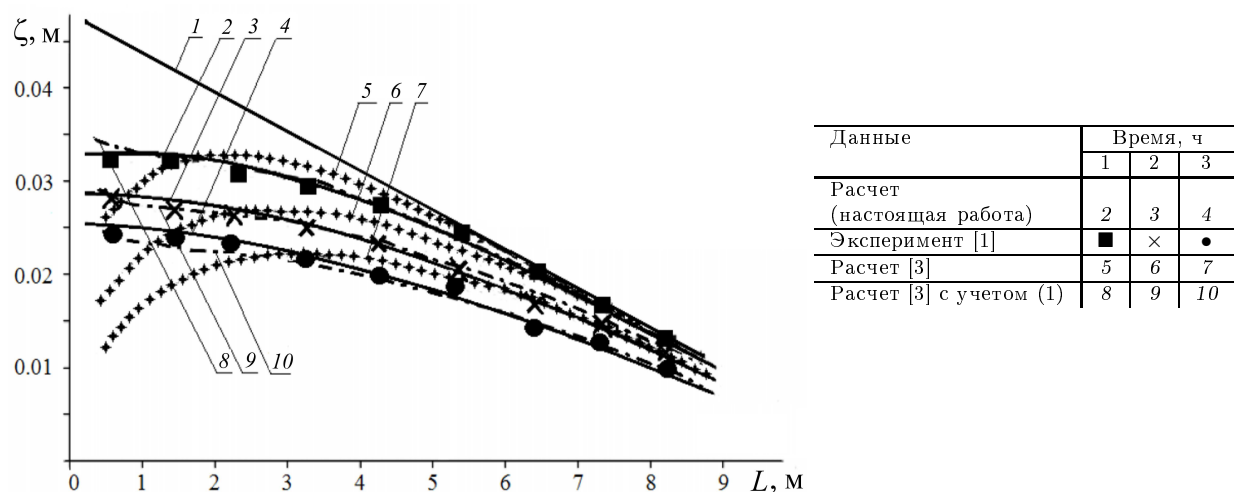


Рис. 2. Размыв донной поверхности; сравнение расчетных и экспериментальных данных; 1 — дно канала в начальный момент времени

отдельных измерений  $\leq 7\%$  [1]). Кривые 5–7 и 8–10 построены по расчетным данным [3] без учета и с учетом калибровочной функции расхода (1). Видно, что без применения феноменологической формулы (1) расчеты [3] (кривые 5–7) дают отклонение от экспериментальных данных, достигающее 60 % в начальной максимально размываемой области канала. Применение регуляризации (1) позволяет снизить отклонение до приемлемой точности (до 12 %) (см. кривые 8–10) [1].

Из полученных расчетов следует, что при различных значениях физических параметров, ограниченных условием  $K > 0.5$ , учет неравновесности процесса донных деформаций при  $0.8 < \Xi < 1$  приводит к изменениям уровня дна, отличающегося от равновесного не более чем на 6 %. Следовательно, в рассмотренной задаче влияние неравновесных механизмов на процесс донных деформаций минимально и не превышает ошибку согласования расчетных данных с экспериментальными измерениями.

Анализ эволюции донной поверхности, приведенный на рис. 2, показывает, что со временем происходит замедление процесса размыва дна канала. С увеличением глубины потока, вызванным размывом дна, скорость потока падает, следовательно, уменьшаются придонные касательные напряжения, что в свою очередь приводит к снижению транспортной способности потока и, как следствие, к замедлению размыва донной поверхности.

## Выводы

На основе математической модели донных деформаций, не содержащей феноменологических параметров, сформулирована одномерная неравновесная русловая задача для песчаного дна канала прямоугольной формы, позволяющая уточнить роль неравновесных механизмов в процессе размыва донной поверхности при набегании на нее осветленного потока. Получено хорошее согласование расчетных и экспериментальных данных, максимальное различие которых не превышает 9 %, что близко к систематической точности экспериментальных измерений.

В результате численных исследований показано, что вклад неравновесных механизмов в процессы движения влекомых наносов и замедления размыва донной поверхности при набегании на нее осветленного потока для рассматриваемой задачи не превышает 3–6 % и, следовательно, им можно пренебречь. Однако в реальных реках при  $K < 0.5$  и толщине активного слоя на порядки большей полученной в эксперименте влияние механизма неравновесного размыва может быть более существенным.

Основной причиной замедления размыва донной поверхности в рассмотренной задаче является местное увеличение глубины потока и вызываемое им уменьшение донных касательных напряжений.

## Список литературы

- [1] NEWTON C.T. An Experimental Investigation of Bed Degradation in an Open Channel. Transcript. Boston Soc. of Civil Eng., 1951.
- [2] SURYANARAYANA B. Mechanics of degradation and aggradation in a laboratory flume // J. Agricultural Eng. Res. 1999. Vol. 74, No. 4. P. 421–426.
- [3] VIKAS S. Two Dimensional Sediment Transport Model Using Parallel Computers. B. Tech. Banaras Hindu Univ., India, 2002. 88 p.

- [4] BELL S.G., SUTHERLAND A.J. Non-equilibrium bed load transport by steady flows // J. Hydraulic Eng. 1983. Vol. 109(3). P. 353–367.
- [5] БЕЛОЛИПЕЦКИЙ В.М., ГЕНОВА С.Н. Вычислительный алгоритм для определения динамики взвешенных и донных наносов в речном русле // Вычисл. технологии. 2004. Т. 9, № 2. С. 9–25.
- [6] ВЕКСЛЕР А.Б., ДОНЕНБЕРГ В.М. Метод расчета трансформации русла в нижних бьефах гидроузлов // Гидравлика. Ч. 1 / Под ред. Д.А. Ивашинцова и А.Б. Векслера. СПб.: Изв. ВНИИГ, 1997. С. 115–130.
- [7] КАРАУШЕВ А.В. Теория и методы расчета речных наносов. Л.: Гидрометеоиздат, 1977. 271 с.
- [8] ПОТАПОВ И.И., СНИГУР К.С. Анализ донных деформаций несвязного дна канала в нижнем бьефе гидроузла // XXXV Дальневосточная математическая школа-семинар. Владивосток, 2010. С. 617–618.
- [9] ПЕТРОВ П.Г. Движение донных наносов под воздействием потока жидкости // МЖГ. 1988. № 2. С. 182–185.
- [10] ПЕТРОВ А.Г., ПЕТРОВ П.Г. Вектор расхода наносов в турбулентном потоке над размываемым дном // ПМТФ. 2000. Т. 41, № 2. С. 102–112.
- [11] ПОТАПОВ И.И. Двумерная модель транспорта донных наносов для рек с песчаным дном // Там же. 2009. Т. 50, № 3. С. 131–139.
- [12] ПЕТРОВ А.Г., ПОТАПОВ И.И. О развитии возмущений песчаного дна канала // Докл. АН. 2010. Т. 431, № 2. С. 191–195.

*Поступила в редакцию 26 января 2011 г.,  
с доработки — 25 февраля 2011 г.*